

Proceedings

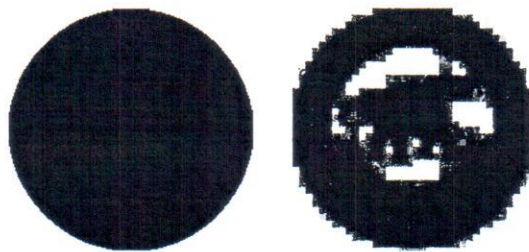
การประชุมวิชาการเครือข่ายพลังงานแห่งประเทศไทย ครั้งที่ 11

The 11th Conference on Energy Network of Thailand (E-NETT)

จัดโดย

คณะพลังงานสิ่งแวดล้อมและวัสดุ มหาวิทยาลัยเทคโนโลยีพระจอมเกล้าธนบุรี
ร่วมกับ

คณะวิทยาศาสตร์ มหาวิทยาลัยนเรศวร



ณ โรงแรมบางแสน เอเชอริเทจ จังหวัดชลบุรี
วันที่ 17 - 19 มิถุนายน พ.ศ. 2558

รหัสบทความ	ชื่อเรื่อง	หน้า
RE-1-44	การควบคุมกำลังไฟฟ้ารีแอคต์ฟลัมมาร์บบล็อกและพัฒนาเชลล์แสงอาทิตย์ที่เข้มข้น ระบบไฟฟ้าโดยใช้อัลกอริธึมการควบคุมแบบทำงานค่ากระแสไฟฟ้า เฉลิม จินาตนุ, วันชัย ทรัพย์สิงห์, ทรงกลด ศรีปรางค์ และชาญวิทย์ บุญช่วย	288
RE-1-45	ไฟโรไลซ์สแบบเรื่องของฟางข้าวในเครื่องปฏิกรณ์ฟลูอิดเซอร์เบดแบบเบดไอลเวียน สุนทร สุทธิบาก	295
RE-1-46	การประเมินศักยภาพของระบบผลิตและจำหน่ายไฟฟ้าจากเซลล์แสงอาทิตย์บนหลังคาอาคาร สุมาติ กลางถิน, ชีรเดช ชีวนันท์ชัย และสุมล แซ่เงย พิสิษฐ์สังข์การ	306
RE-1-47	การศึกษาการดำเนินดันไฟฟ้าจากหันลมแกนตั้งที่มีช่องลมคู่ ฉัตรชัย พรหมดี และชลธี โพธิ์ทอง	322
RE-1-48	ระบบป้องกันแรงดันไฟฟ้าเกินสำหรับกังหันน้ำผลิตไฟฟ้าขนาดเล็กมาก ด้วยวิธีถ่ายโหลดอัตโนมัติ ไวยเวทย์ นาเอก, ชวโรจน์ ใจสิน, ชูรัตน์ ราารักษ์, เสริมสุข บัวเจริญ และยิ่งรักษ์ อรรถเวชกุล	331
RE-1-49	การประเมินศักยภาพของระบบเซลล์แสงอาทิตย์แบบรวมแสงที่ใช้เฟรสนเนลเลนส์และแผ่นสะท้อนเสริม นิรัตน พัฒนาภาณุ, พัฒน รักความสุข, สุรุ่ย ช่วงโชค, รุ่งโรจน์ วงศ์ประกอบ และกฤษณพงศ์ กีรติกร	336
RE-1-50	การวิเคราะห์ศักยภาพลมบริเวณอำเภอเมือง จังหวัดนครราชสีมา ภราดร หนูทอง, นุชรี ภาระโภก และศิริรักษ์ เพิ่มพัฒน์	342
RE-1-51	การพัฒนาและทดสอบกังหันน้ำผลิตไฟฟ้าขนาดจิ๋วแบบคลอดโฟล์วสำหรับพื้นที่ห่างไกล ฉัตรชัย งามสม, พัฒน รักความสุข, กฤษณพงศ์ กีรติกร, รุ่งโรจน์ วงศ์ประกอบ และอุสาห์ บุญบำรุง	351
RE-1-52	ผลกระทบของเกอลินในการเผาไหม้แก๊สร่วมกับฟางข้าวใหญ่ในเตาเผาไหม้ตั้งกรับแบบบันช์ ฐานิตย์ เมธิยานนท์, ประสาน สุติธรรมเรืองศักดิ์, วิชชุลดา ขัยพร และสาวุณิ สงวนกาญจน์	357
RE-1-53	ระบบบำบัดก๊าซขีવภาพด้วยวิธีการกำจัดก๊าซไฮโดรเจนชั้นไฟด์ นรนฤทธิ์ เสนอจิตร และชาติชาย โสบุญ	367
RE-1-55	เครื่องกำเนิดไฟฟ้าเหนี่ยวนำพลังงานลมแบบเชื่อมต่อกับระบบไฟฟ้ากำลัง ขนาด 750 W ณัฐพงษ์ ประพฤติ และพุทธพร เศวตสกุลานนท์	377
RE-1-57	เทคนิคการรักษาแรงดันไฟฟ้าสำหรับเทอร์โมอิเล็กทริกด้วยการรับความร้อนแบบไม่ต่อเนื่อง ปิยพัฒน์ พานเมือง และชลธี โพธิ์ทอง	384
RE-1-59	การไฟโรไลซ์ร่วมระหว่างน้ำมันเครื่องใช้แล้วกับพอลิสไตรีนโดยใช้โซ่อิเล็ตที่ผ่าน การกรองดูดเป็นตัวเร่งปฏิกริยา ณัฐชา เพ็ชร์ยิม, รินลด้า สิริแสงสว่าง, วันเฉลิม พรพิเชษฐ์ และชลิตา ไม้เกตุ	391
RE-1-60	การศึกษาการปรับสภาพข้าวฟ่างหวานโดยใช้ไมโครเวฟร่วมกับโซเดียมไฮดรอกไซด์และแคลเซียมไฮ ดรอกไซด์ สำหรับการผลิตเอทานอล สุนันท์ นวลเพ็ง, พิมพ์ชนก เลี้ยงพร, บริยา แก้วนารี และ Jeffrey Nash	399
RE-1-61	รูปทรงความเข้มรังสีอาทิตย์และสหสัมพันธ์กับกำลังไฟฟ้าจากระบบผลิตไฟฟ้าด้วยเซลล์แสงอาทิตย์ กานต์ นัครราษฎร, รุ่งโรจน์ วงศ์ประกอบ, อนวัช แสงสว่าง และชาญ ชีวะเกตุ	410
RE-1-62	การศึกษาเชิงทดลองระบบการผลิตเกลือสินເຊົາວพลังงานแสงอาทิตย์	417



RE-1-46

การประเมินศักยภาพของระบบผลิตและจำหน่ายไฟฟ้าจากเซลล์แสงอาทิตย์บนหลังคาอาคาร

An Evaluation of a Rooftop Grid Connected Photovoltaic System

สุมล แซ่เง ผู้เชี่ยวชาญ*

¹ สาขาวิชาจัดการงานวิศวกรรม มหาวิทยาลัยเกษตรศาสตร์ วิทยาเขตพัฒนาการ

1761 ถนนพัฒนาการ เขตสวนหลวง กรุงเทพมหานคร 10250

² ศูนย์วิจัยเทคโนโลยีการเผาไหม้และพลังงานทางเลือก ภาควิชาเทคโนโลยีวิศวกรรมเครื่องดันกำลัง

วิทยาลัยเทคโนโลยีอุตสาหกรรม มหาวิทยาลัยเทคโนโลยีพระจอมเกล้าฯ พระนครเหนือ

1518 ถนนประชาธิรักษ์ 1 เขตบางซื่อ กรุงเทพมหานคร 10800

*ผู้ติดต่อ: sumol.energy@hotmail.com, 02-555-2000#6427, 02-587-4350#6427

บทคัดย่อ

วัตถุประสงค์ของงานวิจัยนี้คือ การประเมินศักยภาพของการผลิตไฟฟ้าด้วยพลังงานแสงอาทิตย์บนหลังคาแบบเชื่อมต่อระบบจำหน่าย โดยทดลองติดตั้งระบบจำนวน 3 โครงการคือ แบบแผงเอียง 17 องศาขนาดกำลังการผลิตไฟฟ้า 17.9 kW แผงเอียง 13 องศาขนาดกำลังการผลิตไฟฟ้า 17.9 kW และแบบแผงโค้งขนาดกำลังการผลิตไฟฟ้า 20.0 kW อินเวอร์เตอร์ต่อตระเขาระบบเป็นแบบสามเฟส จากการวิจัยพบว่า ระบบสามารถผลิตพลังงานไฟฟ้าจากเซลล์แสงอาทิตย์ได้ 30.02, 29.13 และ 30.91 kW/day ตามลำดับ พลังงานไฟฟ้าเซลล์แสงอาทิตย์มีค่าเท่ากับ 232.36, 226.56 และ 213.13 W/m² ตามลำดับ ค่าประสิทธิภาพรวมของระบบเท่ากับ 11.25% 10.97% และ 10.16% ตามลำดับ จากการวิเคราะห์เชิงเศรษฐศาสตร์ พบว่า แบบแผงเอียงทั้งสองโครงการคืนทุนในระยะเวลา 6 ปี 9 เดือน และเร็วกว่าแบบแผงโค้งซึ่งมีระยะเวลาคืนทุน 1 ปี 1 เดือน

คำหลัก: ประสิทธิภาพของระบบเซลล์แสงอาทิตย์, พลังงานแสงอาทิตย์บนหลังคา, การเชื่อมต่อระบบจำหน่าย

Abstract

The objective of this research is to measure performance of a rooftop grid connected photovoltaic system. Three installations were a 17.9 kW of 17 degrees inclined flat PV, a 17.9 kW of 13 degrees inclined flat PV and a 20.0 kW of curve PV. Grid connected inverter was 3-phase. From the research, it was shown that the inclined 17 degrees PV, the inclined 13 degrees PV and the curve PV were produced the electric power 30.02, 29.13 and 30.91 kW/day respectively. The average daily PV module energy was 232.36, 226.56 and 213.13 W/m² respectively. The overall photovoltaic system efficiency was 11.25% 10.97% and 10.16% respectively. From economic analysis, it was indicated that PBP of both inclined PV were 6 years and 9 months and faster than the curve PV for 1 year and 1 month.

Keywords: Photovoltaic System Efficiency, Solar Rooftop, Grid Connected System



1. บทนำ

ประเทศไทยเริ่มติดตั้งเซลล์แสงอาทิตย์ขึ้นครั้งแรกที่จังหวัดภูเก็ตเมื่อปี พ.ศ. 2526 มีขนาดกำลังการผลิต 11.34 kW โดยการไฟฟ้าฝ่ายผลิตแห่งประเทศไทย (EGAT) ต่อมารู้สึกวิจัยและพัฒนาเพื่อติดตั้งระบบผลิตไฟฟ้าด้วยเซลล์แสงอาทิตย์อย่างต่อเนื่อง ทั้งแบบไม่เชื่อมต่อระบบจำหน่าย แบบเชื่อมต่อระบบจำหน่าย และแบบผสมผสาน [1] จากข้อมูลการสำรวจของสำนักงานคณะกรรมการนโยบายพลังงานแห่งชาติ (NEPO) เมื่อปี พ.ศ. 2543 พบว่า มีการติดตั้งระบบผลิตไฟฟ้าด้วยเซลล์แสงอาทิตย์รวมทั้งสิ้นประมาณ 5.217 MWp โดยติดตั้งเพื่อใช้ในระบบโทรศัมนาคม 36.5% ระบบประจุแบตเตอรี่ในหมู่บ้านห่างไกล 32.5% และระบบผลิตไฟฟ้าเข้าสู่สายส่งเพียง 5.3% เท่านั้น

อย่างไรก็ตามการผลิตไฟฟ้าด้วยเซลล์แสงอาทิตย์แบบเชื่อมต่อระบบมีความน่าสนใจมาก เพราะมีต้นทุนที่ต่ำกว่า เมื่อพิจารณาถึงความสำเร็จของโครงการ Rooftop Grid Connected ในประเทศไทย สหรัฐอเมริกา ญี่ปุ่น และยุโรป เช่น โครงการบ้านหนึ่งล้านหลังของสหรัฐอเมริกา โครงการบ้านหนึ่งแสนหลังของกลุ่มประเทศยุโรป และโครงการบ้านเจ็ดหมื่นหลังของประเทศไทย การไฟฟ้าฝ่ายผลิตและสำนักงานคณะกรรมการนโยบายพลังงานแห่งชาติจึงได้ร่วมกันจัดทำโครงการ “สาธิระบบผลิตและจำหน่ายไฟฟ้าจากเซลล์แสงอาทิตย์บนหลังคาบ้าน” จำนวน 10 หลังในปี พ.ศ. 2540 และขยายผลเพิ่มเติมในปี พ.ศ. 2545 - 2547 อีกจำนวน 50 หลัง [2]

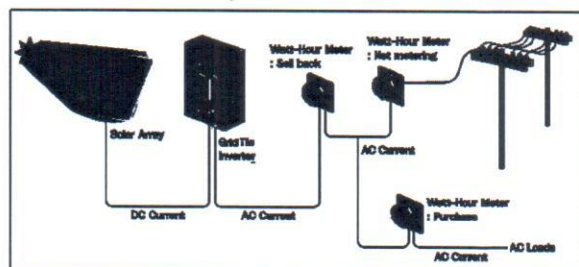
จากการเริ่มน้ำแฝงเซลล์แสงอาทิตย์บนหลังคามาใช้ในการผลิตกระแสไฟฟ้าในประเทศไทยอย่างแพร่หลาย ทำให้ผู้วิจัยเล็งเห็นถึงความสำคัญของการศึกษาการประเมินศักยภาพของการผลิตไฟฟ้าจากแฝงเซลล์แสงอาทิตย์บนหลังคาอาคาร (Solar Roof

Top) ที่เชื่อมต่อระบบจำหน่าย (Grid Connected System) โดยเปรียบเทียบรูปแบบของการติดตั้งบนหลังคาบ้านพักอาศัยและโรงงาน งานวิจัยนี้เป็นอีกแนวทางหนึ่งที่สามารถช่วยแก้ไขปัญหาวิกฤติพลังงานได้ เพราะนอกจากจะตอบสนองนโยบายด้านพลังงานของประเทศไทย ยังเป็นประโยชน์โดยตรงต่อผู้วิจัยที่สนใจศึกษาด้านศักยภาพของการผลิตไฟฟ้าพลังงานแสงอาทิตย์ที่เชื่อมต่อ กับระบบสายส่งโดยมีการติดตั้งแผงเซลล์แสงอาทิตย์ในรูปแบบต่าง ๆ รวมทั้งสามารถนำความรู้จากการวิจัยนี้ไปเผยแพร่ต่อชุมชนและวงการวิชาการต่อไป

2. วิธีดำเนินงานวิจัย

2.1 ส่วนประกอบของระบบ

ระบบผลิตไฟฟ้าด้วยเซลล์แสงอาทิตย์แบบเชื่อมต่อระบบจำหน่ายประกอบด้วย ชุดแฝงเซลล์แสงอาทิตย์ อินเวอร์เตอร์ ระบบควบคุมและแสดงผลรายละเอียดแสดงดังรูปที่ 1



รูปที่ 1 การผลิตกระแสไฟฟ้าด้วยเซลล์แสงอาทิตย์แบบเชื่อมต่อระบบจำหน่าย [3]

แผงเซลล์แสงอาทิตย์ในงานวิจัยนี้เป็นชนิดผลึกรวมซิลิโคน (Polycrystalline) ยี่ห้อ Suntech รุ่น 280(72) ขนาด 280 W ผลิตจากประเทศไทย สำหรับงานวิจัยนี้จะดำเนินการติดตั้งระบบจำนวน 3 โครงการประกอบด้วย โครงการที่ 1 แบบแฝงเอียง 17 องศา ติดตั้งบนหลังคาโรงงานซึ่งตั้งอยู่ในพื้นที่ตำบลบางเสารัง สมุทรปราการ จำนวน 64 แผ่น ขนาดกำลังการผลิต 17.9 kW โครงการที่ 2 แบบแฝงเอียง 13 องศา ติดตั้งบนหลังคาโรงงานซึ่งตั้งอยู่ในพื้นที่เขตตลาดกระบัง จำนวน 64 แผ่น ขนาดกำลังการผลิต 17.9 kW และ



โครงการที่ 3 แบบแผงโค้ง ติดตั้งบนหลังคาบ้านพักอาศัยครอบคลุมบริเวณระหว่างน้ำซึ่งตั้งอยู่ในพื้นที่เขตบางนา จำนวน 64 แผ่น ขนาดกำลังการผลิต 20.0 kW โดยติดตั้งแผงให้หันไปทางทิศใต้

พื้นที่การติดตั้งของหลังคาระยะนี้ในโครงการที่ 1 และ 2 มีขนาดเท่ากันคือ 128 ตารางเมตร ติดตั้งจำนวน 64 แผ่น คิดเป็นกำลังการผลิต 17.9 kW การติดตั้งระบบเซลล์แสงอาทิตย์ได้แบ่งเป็น 2 อินพุต โดยที่ 1 อินพุตเท่ากับ 36 แผ่น แบ่งเป็น 2 String 1 String เท่ากับ 18 แผ่น นำมาต่ออนุกรมกันก่อนแล้วหลังจากนั้นจึงค่อยนำไปต่อแบบขนาน



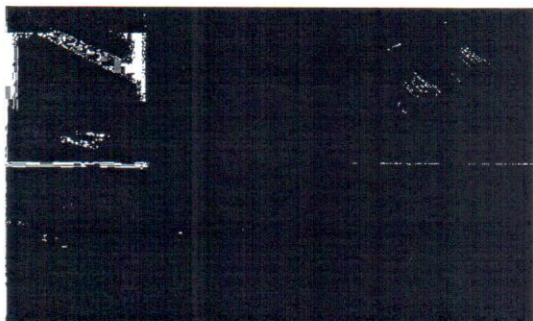
รูปที่ 2 รูปแบบการติดตั้งเซลล์แสงอาทิตย์บนหลังคา ลักษณะเอียง 17 องศา



รูปที่ 3 รูปแบบการติดตั้งเซลล์แสงอาทิตย์บนหลังคา ลักษณะเอียง 13 องศา

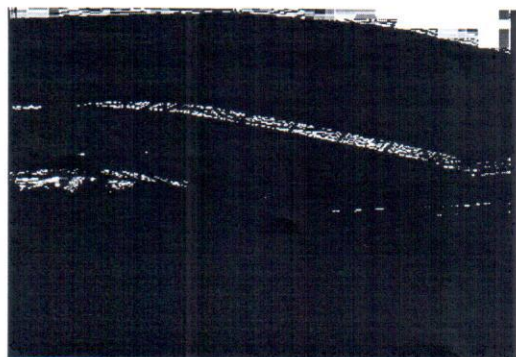
การติดตั้ง Solar Roof Top ของทั้งสองโครงการ มีวัตถุประสงค์เพื่อให้น้ำฝนไหลลงจากหลังคาได้อย่างรวดเร็ว ดังนั้นการติดตั้งแผงเซลล์แสงอาทิตย์บนหลังคาต้องไม่ขวางทางเดินน้ำและมี

ระยะสูงกว่าหลังคาไม่มากเกินไป เพื่อป้องกันการเกิดปัญหากรณีมีลมพายุที่อาจก่อให้เกิดความเสียหาย อุปกรณ์ที่ใช้ในการยึดแผ่นโซลาร์บนหลังคาประกอบด้วย 3 ส่วน คือ ตัวยึดหลังคา (Roof Mounts) รางรองรับแผง (Rail Mounting) และตัวล็อกแผง (Module Fixings) ดังแสดงในรูป 4 ซึ่งจาก การศึกษาพบว่า การติดตั้งบนหลังคาจะมีค่าใช้จ่ายที่ต่ำกว่ากรณีอื่น



รูปที่ 4 อุปกรณ์ยึดแผ่นเซลล์แสงอาทิตย์บนหลังคา โรงงาน

หลังคาระยะที่ 2 โครงการเป็นหลังคาแผ่นเมทัลชีล ผู้ติดตั้งแผ่นจะใช้น็อตยึดติดกับหลังคาพร้อมรางอลูมิเนียมเพื่อเป็นตัวยึดแผ่นเซลล์แสงอาทิตย์ให้ระนาบกับหลังคา โดยข้อมูลความลาดเอียงของหลังคาหาได้จากแบบแปลนของโรงงานผู้ขอติดตั้งระบบ



รูปที่ 5 รูปแบบการติดตั้งเซลล์แสงอาทิตย์บนหลังคา ลักษณะโค้ง

การติดตั้งโครงการที่ 3 ครอบคลุมบนพื้นที่ระหว่างน้ำในลักษณะโค้ง เป็นการติดตั้งแบบบูรณาการตัว

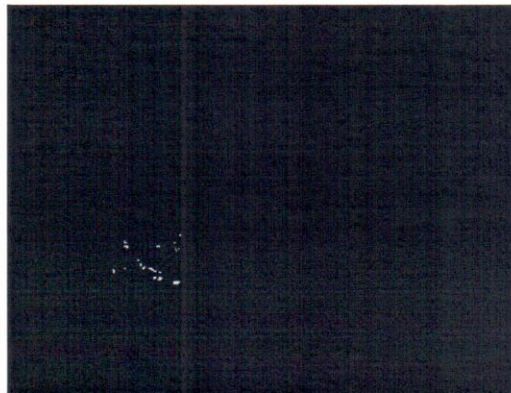


อาคาร (BPV) โดยนำไปติดแน่นหลังคา ซึ่งช่วยบังแดด และความสว่างงาน โครงสร้างเป็นวัสดุอลูมิเนียม รูปแบบโค้งตามความต้องการของผู้ขอติดตั้งระบบ ความลาดเอียงของโครงสร้างจะถูกสร้างขึ้นเพื่อรับ แผงเซลล์แสงอาทิตย์อย่างเหมาะสม จากรูปที่ 6 แสดงฐานยึดโครงสร้างรองรับการติดตั้งแผงเซลล์ แสงอาทิตย์ทั้งหมด 72 แผง พื้นที่การติดตั้ง 144 ตารางเมตร ติดตั้งแบบเจาะยึดกับพื้น และสร้างเท่น วางเพื่อถ่วงน้ำหนัก



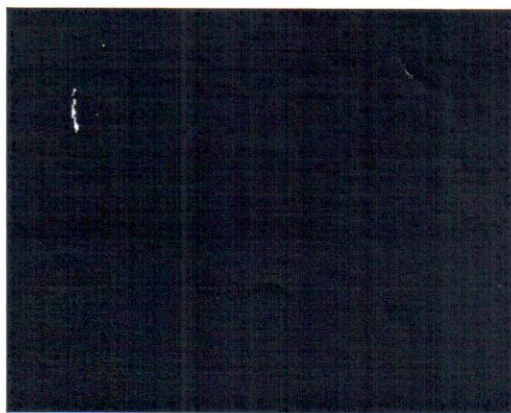
รูปที่ 6 ฐานยึดโครงสร้าง

อินเวอร์เตอร์ (Inverter) ที่ใช้ในการวิจัยเป็นแบบต่อตรงเข้าระบบจำหน่าย รุ่น JFY 20000 TL ชนิด 3 เฟส เป็นอินเวอร์เตอร์ที่เปลี่ยนไฟฟ้ากระแสตรง (DC) เป็นไฟฟ้ากระแสสลับ (AC) เพื่อนำไปใช้แทนไฟฟ้าภายในโครงการวิจัย จำนวน 1 เครื่อง แรงดันรับเข้า VDC 1000V, VDC_{mpt} 250 - 800 V เป็นกระแสไฟฟ้า สลับ 50.5 Hz แรงดัน 40 VAC, PAC 20000 W, IAC 29 A ต่อเฟส โดยเอาท์พุตของอินเวอร์เตอร์แต่ละเครื่องต่อเข้ากับระบบไฟฟ้าของอาคาร มีเมตร์แสดงผลลัพธ์ เชิงวัดกิโลวัตต์ชั่วโมงที่ใช้แสดงผลการผลิตไฟฟ้า เครื่องวัดกิโลวัตต์ชั่วโมงที่ใช้แสดงผลการผลิตไฟฟ้าและอุปกรณ์ป้องกันระบบ เช่น เซอร์กิตเบรคเกอร์สำหรับป้องกันการลัดวงจรด้านกระแส และด้านกระแสลับ รวมทั้งอุปกรณ์ป้องกันกระแสชาด (Surge Protection) ติดตั้งรวมกันในตู้ ดังแสดงในรูปที่ 7



รูปที่ 7 อินเวอร์เตอร์ขนาด 20 kW และมิเตอร์แสดงการผลิตไฟฟ้าและอุปกรณ์ป้องกันระบบ

ระบบควบคุมและแสดงผลการทำงานของระบบ แผงเซลล์แสงอาทิตย์ เช่น การควบคุมอินเวอร์เตอร์ เป็นไปตามฟังก์ชันของบริษัทผู้ผลิต โดยทำงานอัตโนมัติเมื่อความเข้มของแสงอาทิตย์เพียงพอในเวลาเช้า และหยุดทำงานอัตโนมัติในช่วงเวลาเย็น โดยมีอุปกรณ์การตรวจสอบกระแสไฟฟ้าและแรงดันไฟฟ้า ทางด้านกระแสตรงและกระแสสลับ ซึ่งจะบันทึกข้อมูลต่าง ๆ ไว้ในอุปกรณ์เก็บข้อมูลภายในอินเวอร์เตอร์ สำหรับการแสดงผลข้อมูลการผลิตไฟฟ้าของระบบจะใช้ซอฟต์แวร์ในการแสดงผลข้อมูลต่าง ๆ บนจอคอมพิวเตอร์ รายละเอียดแสดงดังรูปที่ 8



รูปที่ 8 เครื่องบันทึกค่าพลังงานของแผงเซลล์แสงอาทิตย์

2.2 การทำงานของระบบ

ระบบผลิตไฟฟ้าด้วยเซลล์แสงอาทิตย์ในงานวิจัยนี้จะใช้อินเวอร์เตอร์แบบต่อเข้าระบบอัตโนมัติ โดย



เมื่อความเข้มของแสงอาทิตย์เพียงพอชุดแรกเซลล์แสงอาทิตย์สามารถผลิตแรงดันกระแสตรง พบว่า ตั้งแต่เวลาประมาณ 6.30 - 7.00 น. อินเวอร์เตอร์จะทำการแปลงไฟฟ้ากระแสตรงเป็นไฟฟ้ากระแสสลับ และเมื่อความเข้มของแสงอาทิตย์ลดลงที่เวลาประมาณ 18.00 น. พบว่า ระบบผลิตไฟฟ้าจะหยุดทำงานเองโดยอัตโนมัติ เอ้าร์พูตของอินเวอร์เตอร์จะส่งผ่านเครื่องวัดกิโลวัตต์ชั่วโมงเพื่อแสดงค่าพลังงานไฟฟ้าที่ผลิตได้ เมื่อจากระบบผลิตไฟฟ้าด้วยเซลล์แสงอาทิตย์แบบต่อเข้าระบบต้องอาศัยการเชื่อมโยงของระบบจำหน่ายตลอดเวลา ดังนั้นหากเกิดปัญหาไฟฟ้าดับหรือขัดข้องผิดปกติ อินเวอร์เตอร์จะหยุดทำงานแบบอัตโนมัติทันที เพื่อป้องกันความเสียหายที่อาจเกิดกับอินเวอร์เตอร์และผู้ซื้อระบบไฟฟ้า

สำหรับการวัดและบันทึกข้อมูลเป็นระบบอัตโนมัติซึ่งติดตั้งอยู่ภายในอินเวอร์เตอร์ ประกอบไปด้วย ตัวเซ็นเซอร์กระแสและแรงดันไฟฟ้า โดยจะทำการวัดค่าดังกล่าวแล้วนำมาคำนวณค่ากำลังไฟฟ้าและพลังงานไฟฟ้าที่ผลิตได้ด้วยไมโครคอนโทรลเลอร์และทำการบันทึกค่าต่าง ๆ เก็บไว้ในตัวบันทึกข้อมูล (Data Logger) ภายในอินเวอร์เตอร์ การกำหนดช่วงเวลาการเก็บข้อมูลและการตั้งค่าเริ่มต้นในการบันทึกข้อมูลทำได้โดยสั่งผ่านซอฟต์แวร์ และเมื่อต้องการโหลดข้อมูลการผลิตไฟฟ้ามาทำการวิเคราะห์สามารถทำได้โดยใช้ออกพ์ต์แวร์ดังกล่าว เช่นกัน โดยการสร้างไฟล์สำหรับเก็บข้อมูลในคอมพิวเตอร์ ข้อมูลดังกล่าวสามารถนำไปคำนวณหรือสร้างกราฟแสดงผลในรูปแบบต่าง ๆ ได้ตามที่ผู้ศึกษาต้องการ [4]

2.3 การคำนวณหาค่าประสิทธิภาพ

การผลิตพลังงานไฟฟ้าของแผงเซลล์แสงอาทิตย์สามารถคำนวณได้ดังสมการที่ (1)

$$\text{พลังงานไฟฟ้า} = PV \times PSH \times \text{Derate Factor} \quad (1)$$

เมื่อ PV คือ พิกัดกำลังการผลิตพลังงานไฟฟ้าจากระบบ (kW) PSH คือ จำนวนชั่วโมงที่ความเข้ม

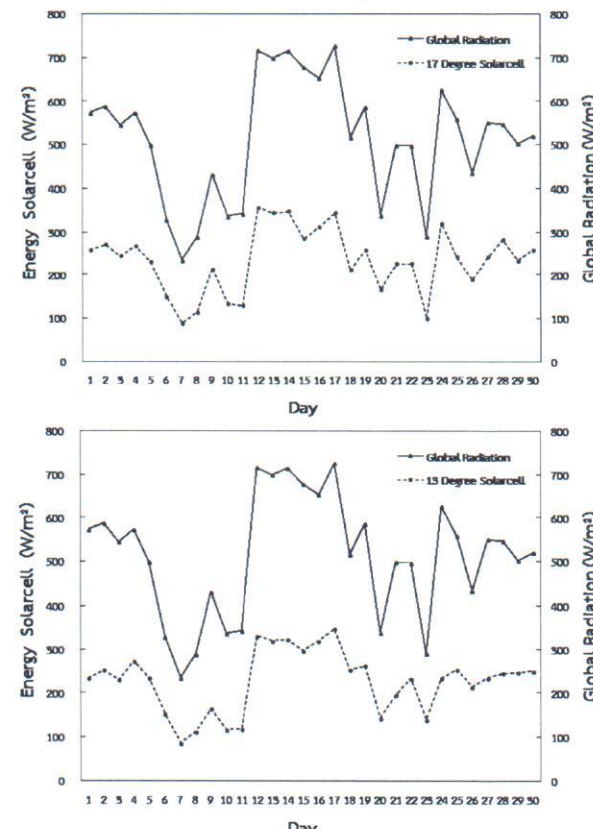
แสงอาทิตย์มากที่สุด (h/day) Derate Factor คือ Overall DC to AC Factor กำหนดให้ค่ามีค่า 0.77 [5-6]

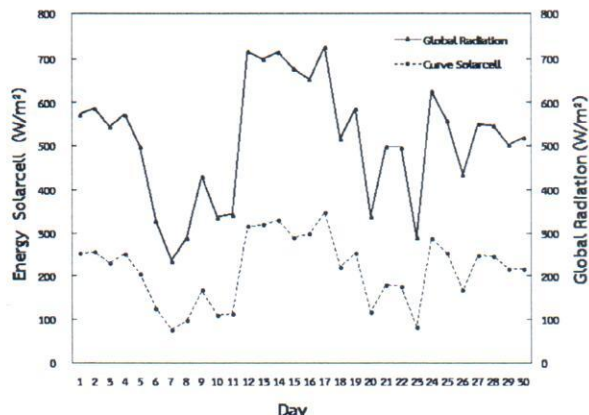
ค่าประสิทธิภาพของแผงเซลล์แสงอาทิตย์สามารถคำนวณได้ดังสมการที่ (2)

$$\begin{aligned} \text{ประสิทธิภาพ} &= \frac{\text{พลังงานไฟฟ้าจากแผงเซลล์}}{\text{แสงอาทิตย์} (\text{W/m}^2/\text{h})} \times \frac{\text{ค่ารั้งสีรวมเฉลี่ย} (\text{W/m}^2/\text{h})}{100\%} \\ &\quad (2) \end{aligned}$$

3. ผลการดำเนินงานวิจัย

จากการทดสอบการทำงานของระบบผลิตไฟฟ้าด้วยเซลล์แสงอาทิตย์บนหลังคาอาคารแบบเชื่อมต่อระบบจำหน่าย เพื่อนำมาประเมินศักยภาพของการผลิตไฟฟ้า ในรูปแบบการติดตั้งบนหลังคาทั้ง 3 ลักษณะ คือ ลักษณะเอียง 17 องศา, 13 องศา และลักษณะโถง โดยทำการตรวจวัดพลังงานไฟฟ้าที่ผลิตได้ผ่านการบันทึกข้อมูลรายวันด้วยระบบอัตโนมัติ ตั้งแต่วันที่ 1 ตุลาคม จนถึง 30 ตุลาคม 2557





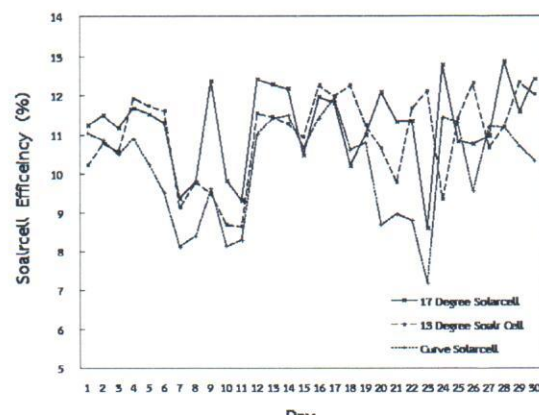
รูปที่ 9 พลังงานไฟฟ้าที่แผงเซลล์แสงอาทิตย์ผลิตได้

ผลการทดสอบค่าพลังงานไฟฟ้าของระบบเซลล์แสงอาทิตย์ ในช่วงเวลา 09.00 - 13.00 น. พบว่า แบบแบ่งอุ่น 17 องศาสามารถผลิตพลังงานไฟฟ้าจากเซลล์แสงอาทิตย์รวมคิดเป็น 30.02 kW/day แบบแบ่งอุ่น 13 องศาและ 13 องศา มีค่าเท่ากันคือ 6 ปี 9 เดือน ซึ่งระยะเวลาคืนทุนของแบบแบ่งอุ่น 8 ปี เปรียบเทียบแล้วแบบอุ่นคืนทุนเร็วกว่าแบบแบ่ง 1 ปี 1 เดือน

เมื่อคิดเฉลี่ยต่อที่นั่นที่แบ่งจะเห็นว่า ค่าพลังงานไฟฟ้าเซลล์แสงอาทิตย์มีค่าเท่ากับ 232.36, 226.56 และ 213.13 W/m² ตามลำดับ

โดยมีค่าเฉลี่ยสูงสุดเท่ากับ 356.25, 348.44 และ 347.22 W/m² ตามลำดับ และมีค่าเฉลี่ยต่ำสุด 100, 85.94 และ 76.39 W/m² ตามลำดับ รายละเอียดแสดงดังรูปที่ 9

ซึ่งเมื่อคำนวณค่าประสิทธิภาพรวมเฉลี่ยของระบบจะมีค่าเท่ากับ 11.25% 10.97% และ 10.16% ตามลำดับ ทั้งนี้อ้างอิงข้อมูลรังสี Global Radiation จากสถาบันกรมอุตุนิยมวิทยาพื้นที่เขตบางนา กรุงเทพมหานคร



รูปที่ 10 ค่าประสิทธิภาพการผลิตพลังงานไฟฟ้าจากระบบเซลล์แสงอาทิตย์

เมื่อนำข้อมูลที่ได้ไปทำการวิเคราะห์ในเชิงเศรษฐศาสตร์เพื่อหาจุดคุ้มทุน พบว่า ระยะเวลาคืนทุนของแบบแบ่งอุ่น 17 องศาและ 13 องศา มีค่าเท่ากันคือ 6 ปี 9 เดือน ซึ่งระยะเวลาคืนทุนของแบบแบ่งอุ่น 8 ปี เปรียบเทียบแล้วแบบอุ่นคืนทุนเร็วกว่าแบบแบ่ง 1 ปี 1 เดือน

ตารางที่ 1 การวิเคราะห์ด้านเศรษฐศาสตร์ต้นทุน

รายการ	จำนวน	ต้นทุนต่อตัวตั้งตระหง่าน (บาท/ตัว)	ต้นทุนต่อตัวตั้งตระหง่าน (บาท/ตัว) 10	ขนาด ตัวตั้งตระหง่าน	จำนวน	จำนวน	จำนวน
1	ตั้งตระหง่าน 17 องศา	232.36	11.25	10 kw	650,000	6 ปี 9 เดือน	
2	ตั้งตระหง่าน 13 องศา	226.56	10.97	10 kw	650,000	6 ปี 9 เดือน	
3	ตั้งตระหง่าน	213.13	10.16	20 kw	840,000	5 ปี	

4. สรุปผลการวิจัย

จากแนวโน้มความต้องการพลังงานที่สูงขึ้นในปัจจุบันจนทำให้พลังงานทดแทนมีบทบาทสำคัญและมีความจำเป็นมากยิ่งขึ้น พลังงานแสงอาทิตย์เป็นพลังงานทดแทนอีกทางเลือกหนึ่งที่ถูกนำมาใช้ในการผลิตกระแสไฟฟ้า จากการประเมินศักยภาพของการผลิตไฟฟ้าโดยการติดตั้งระบบพลังงานแสงอาทิตย์บนหลังคา 3 ลักษณะดังกล่าวแล้ว ผู้วิจัยได้ดำเนินการเก็บข้อมูลการผลิตกระแสไฟฟ้าแบบเชื่อมต่อเข้าระบบจำหน่ายไฟฟ้าของการไฟฟ้านครหลวง เมื่อเดือนตุลาคม พ.ศ. 2557 ผลของการวิจัยพบว่า ค่าประสิทธิภาพรวมเฉลี่ยของระบบจะมีค่าเท่ากับ



11.25% 10.97% และ 10.16% ตามลำดับ ทั้งนี้เมื่อ วิเคราะห์ในเชิงเศรษฐศาสตร์เพื่อหาจุดคุ้มทุน พบร่วม ระยะเวลาคืนทุนของแบบแบ่งเอียง 17 องศาและ 13 องศา มีค่าเท่ากันคือ 6 ปี 9 เดือน ซึ่งระยะเวลาคืนทุนของแบบโคงเท่ากับ 8 ปี เปรียบเทียบแล้วแบบเอียงคืนทุนเร็วกว่าแบบโคง 1 ปี 1 เดือน

5. กิตติกรรมประกาศ

ขอขอบคุณ คุณวิทยา หอมอ่อน และ คุณสายชน ถึงสุข ที่ช่วยอนุเคราะห์ข้อมูลและการวิเคราะห์ของ บริษัทผู้ผลิต

6. เอกสารอ้างอิง

- [1] การไฟฟ้าฝ่ายผลิตแห่งประเทศไทย (2536). ระบบผลิตไฟฟ้าร่วมเซลล์แสงอาทิตย์และกังหันลมที่ ภูเก็ต, สถาบันวิจัยและพัฒนา, กรุงเทพฯ
- [2] การไฟฟ้าฝ่ายผลิตแห่งประเทศไทย (2540). โครงการสาธิตระบบผลิตและจำหน่ายไฟฟ้าจากเซลล์แสงอาทิตย์บนหลังคาบ้าน, สถาบันวิจัยและพัฒนา, กรุงเทพฯ
- [3] กรมพัฒนาพลังงานทดแทนและอนุรักษ์พลังงาน กระทรวงพลังงาน (2548). พลังงานแสงอาทิตย์, [ระบบ ออนไลน์], แหล่งที่มา <http://www.dede.go.th>, เข้าดู เมื่อวันที่ 24/04/2557.
- [4] นภัทร วัจนเทพินทร์ (2547), การวิจัยและพัฒนาระบบผลิตไฟฟ้าด้วยเซลล์แสงอาทิตย์บนหลังคาอาคารขนาด 5 kW แบบเชื่อมต่อเข้าระบบ, การประชุมเชิงวิชาการเครือข่ายพลังงานแห่งประเทศไทย, มหาวิทยาลัยเทคโนโลยีราชมงคลสุวรรณภูมิ จังหวัดนนทบุรี
- [5] มหาวิทยาลัยธรรมศาสตร์ วิทยาเขตธงสิต การศึกษาเกี่ยวกับศักยภาพของแบงเซลล์แสงอาทิตย์ ในห้องสมุดป่าวຍ อังกฤษณ์, หน้า 39.
- [6] โครงการศึกษาเพื่อกำหนดแนวทางดำเนินงานการ มีส่วนร่วมรับรู้ของภาคประชาชนต่อการใช้ประโยชน์

จากพลังงานทางเลือก, เอกสารเผยแพร่ พลังงานทางเลือก รู้แล้ว เลือกได้, หน้า 21-24.



๒.๙-๐๑

Proceedings

การประชุมวิชาการเครือข่ายพลังงานแห่งประเทศไทย ครั้งที่ 11

The 11th Conference on Energy Network of Thailand (E-NETT)

จัดโดย

คณะกรรมการสิ่งแวดล้อมและวัสดุ มหาวิทยาลัยเทคโนโลยีพระจอมเกล้าธนบุรี
ร่วมกับ

คณะวิทยาศาสตร์ มหาวิทยาลัยนเรศวร



ณ โรงแรมบางแสน เออร์เทจ จังหวัดชลบุรี
วันที่ 17 - 19 มิถุนายน พ.ศ. 2558

- 16:00 RE-1-69 การศึกษาประเมินความเหมาะสมโครงการติดตั้งทุ่งกังหันลมผลิตไฟฟ้าในพื้นที่ใกล้ชายฝั่งทะเลจังหวัดประจวบคีรีขันธ์ของประเทศไทยโดยใช้เกณฑ์ขั้นต่ำด้านผลกระทบแทนร่วมกับศักยภาพพลังงานลม พนม ปริญญา, วัชรกร เกตุเรน, ดุษฎี ศุขสวัสดิ์, ชวิน จันทรเสนานวงศ์ และณัฐวุฒิ ขยายนิช
- 16:15 EE-4-36 การศึกษาแนวทางการแก้ไขคุณภาพไฟฟ้าจากระบบผลิตไฟฟ้าด้วยเซลล์แสงอาทิตย์โดยใช้ระบบโครงข่ายอัจฉริยะ นิพนธ์ เกตุจ้อย, ณัฐวุฒิ ขาวสะอาด, อัตรชัย คิริสัมพันธวงศ์ และคงฤทธิ์ แม่นคิริ
- 16:30 ME-6-09 อิทธิพลของขนาดอนุภาคและความเร็วการกว่าน้ำต่อการกระจายตัวของอนุภาคและความด้านทานการสีกหรือของอะลูมิเนียมเชิงประกอบที่เสริมแรงด้วยซิลิโคนคาร์บีด รุ่งโรจน์ ยิ่งล่า และนุชรนา พลทอง
- 16:45 ME-6-10 การใช้ประโยชน์ถ่านหกานอ้อยและถ่านอ้อยในงานคอนกรีต ณัฐรุวงศ์ โพธิ์สุกานันท์, พงษ์ธร จุพพันธ์ทอง, วัชรพงษ์ วงศ์เขียว, ปานิสรา ดีเลิศ และหนงคักดี โนไซยา

ห้องแส่นสำราญ 2

วันพุธที่ 18 มิถุนายน 2558 เวลา 15:00 – 16:15 น.

สาขาวิชาที่ความวิจัย

พัฒนาทดสอบและพัฒนารูปแบบใหม่, พัฒนาประยุกต์

ประธานการนำเสนอที่ความ ผศ.ดร.วีรชัย โรยนรินทร์

- 15:00 RE-1-74 การศึกษากำลังไฟฟ้าที่ผลิตได้ของระบบเซลล์แสงอาทิตย์แบบใช้กระจกเงาและอะลูมิเนียม เพิ่มความเข้มรังสีดวงอาทิตย์ ภัตริยะ คิริสัมพันธวงศ์, บัญญา ปัตติภานันด์ และนิพนธ์ เกตุจ้อย
- 15:15 RE-1-76 การจำลองระบบผลิตไฟฟ้าเซลล์แสงอาทิตย์แบบติดตั้งบนหลังคาบ้านเรือน: กรณีศึกษาศูนย์การเรียนรู้เครือข่ายสินธุ-แพรಥอง จ.พัทลุง จอมกฤษ แวงศักดิ์, ธนาศ ไชยชนะ และสมพล ชีวมงคลกานต์
- 15:30 RE-1-77 การเพิ่มค่าเสื่อมสภาพการเกิดปฏิกิริยาออกซิเดชั่นของใบโอดีเซลจากน้ำมันใบโอดีเซลจากน้ำมันสนบุ่ม โดยไฮโดรเจนชั่นบางส่วน ณัฐวี ตีรณานนท์, ธนากรนต์ เพ็มฉลาด, ลลิตา อัตตโน และปิยันันท์ ศรีคิริ
- 15:45 RE-1-46 การประเมินศักยภาพของระบบผลิตและจำหน่ายไฟฟ้าจากเซลล์แสงอาทิตย์บนหลังคาอาคาร สุมาลี กลางถิน, รีเดช ชีวนันท์ชัย และสุมล แซ่เฮง พลวิชัยลังษ์มกการ
- 16:00 AE-2-09 การประยุกต์ใช้โทรศัพท์ในการควบคุมระบบหล่อเย็นของเครื่องจักรในอุตสาหกรรม กิตติ สถาพรประสารน์ และอภินันท์ พงศ์มนี

ห้องแส่นสำราญ 3

วันพุธที่ 18 มิถุนายน 2558 เวลา 15:00 - 17:00 น.

สาขาวิชาที่ความวิจัย

พัฒนาประยุกต์

ประธานการนำเสนอที่ความ รศ.ดร.สมิท เอี่ยมสะอาด

- 15:00 AE-2-11 การศึกษาพารามิเตอร์สำหรับวิเคราะห์การอบแห้งกีวีปีاز นางสาวพัชราภรณ์ ยาบา และอุษาวดี ตันติวรรณรักษ์
- 15:15 AE-2-15 การเปรียบเทียบการระบายความร้อนแบบธรรมชาติและการระบายความร้อนแบบบังคับโดยพลศาสตร์ของไฟหลอดเชิงคำนวน ธารัช สรรณะพุม, ภูริต ธนาภิจกेम และณัฐรุจ្រ กากย坪นันทน์



RE-1-45

ไฟโรไลซีสแบบเร็วของฟางข้าวในเครื่องปฏิกรณ์ฟลูอิไดซ์เบดแบบเบตต์เหลว
Fast Pyrolysis of Rice Straw in a Circulating Fluidized Bed Reactor

สุนثر สุทธิบาก^{1,*}

¹ สาขาวิชาเทคโนโลยีเครื่องกลและวิศวกรรมพลังงาน คณะเทคโนโลยี มหาวิทยาลัยราชภัฏอุดรธานี
64 ถนนท่าหาร ตำบลหมากแข้ง อำเภอเมือง จังหวัดอุดรธานี 41000

*สู้ติดต่อ: suntorn_su@hotmail.com, โทรศัพท์: 042-211040 ต่อ 1425, เบอร์โทรศัพท์: 042-221978

บทคัดย่อ

บทความนี้เป็นการศึกษาการผลิตน้ำมันเชื้อเพลิงจากฟางข้าวโดยผ่านกระบวนการไฟโรไลซีสแบบเร็ว ในเครื่องปฏิกรณ์ฟลูอิไดซ์เบดแบบเบตต์เหลว วัตถุประสงค์หลักของการศึกษานี้เพื่อศึกษาผลของอุณหภูมิที่ทำปฏิกิริยาไฟโรไลซีสที่มีต่อปริมาณและคุณสมบัติของน้ำมันเชื้อเพลิงที่ได้ อุณหภูมิที่เลือกใช้ในการศึกษานี้ 5 ระดับ ประกอบด้วย 350 400 450 500 และ 550°C เลือกใช้ขนาดอนุภาคของฟางข้าว 0.150-0.425 mm อัตราป้อนเชื้อเพลิง 200 g/hr และใช้ทรารยชิลิกาขนาดอนุภาค 0.150-0.425 mm เป็นวัสดุตัวกลางในการถ่ายโอนความร้อน อัตราการป้อนในโดรเจนร้อนทั้งระบบประมาณ 8 L/min ใช้อุตสาหกรรม 1.5 L/min จากผลการทดลอง พบว่า อุณหภูมิที่เหมาะสมสำหรับการผลิตน้ำมันเชื้อเพลิงไฟโรไลซีสแบบเร็วของฟางข้าว ในเครื่องปฏิกรณ์ฟลูอิไดซ์เบดแบบเบตต์เหลวอยู่ในช่วง 400-450°C ได้ปริมาณน้ำมันเชื้อเพลิงสูงสุดประมาณ 53.35 wt.% ผลการวิเคราะห์พื้นฐานน้ำมันเชื้อเพลิง พบว่า น้ำมันเชื้อเพลิงที่ได้มีปริมาณน้ำมันอยู่ในช่วง 29.5-34.6 wt.% ปริมาณของเชื้อเพลิงอยู่ในช่วง 0.87-1.07 wt.% ปริมาณเต้า 0.01-0.03 wt.% ค่า pH อยู่ในช่วง 2.67-3.92 ความหนาแน่นอยู่ในช่วง 1,077-1,203 kg/m³ ความหนืดลื่นอยู่ในช่วง 15.2-20.2 cSt ค่าความร้อนต่ำ (LHV) มีค่าเท่ากับ 23.06 MJ/kg และจากการวิเคราะห์ชนิดและปริมาณสารเคมีที่อยู่ในน้ำมันเชื้อเพลิงด้วยเทคนิค GC-MS พบว่า น้ำมันเชื้อเพลิงที่ได้มีปริมาณสารเคมีประเภทต้องห้ามสูงที่สุด และผลิตภัณฑ์ที่เป็นถ่านจะมีค่าความร้อนต่ำ (LHV) เท่ากับ 17.95 MJ/kg

RE-1-46

การประเมินศักยภาพของระบบผลิตและจำหน่ายไฟฟ้าจากเซลล์แสงอาทิตย์บนหลังคาอาคาร
An Evaluation of a Rooftop Grid Connected Photovoltaic System

สุมลี กลางถื่น¹, วีระเดช ชัยนันท์ชัย¹ และ สมูล แซ่เงง พิสิษฐ์สุรังษาการ^{2,*}

¹ สาขาวิชาจัดการงานวิศวกรรม มหาวิทยาลัยเกษตรศาสตร์ วิทยาเขตพัฒนาการ

1761 ถนนพัฒนาการ เขตสวนหลวง กรุงเทพมหานคร 10250

² ศูนย์วิจัยเทคโนโลยีการเพาเวอร์และพลังงานทางเลือก ภาควิชาเทคโนโลยีวิศวกรรมเครื่องยนต์ วิทยาลัยเทคโนโลยีอุตสาหกรรม มหาวิทยาลัยเทคโนโลยีพระจอมเกล้าพระนครเหนือ

1518 ถนนประชาธิรักษ์ 1 เขตบางซื่อ กรุงเทพมหานคร 10800

* E-mail : sumol.energy@hotmail.com, เบอร์โทรศัพท์ 02-555-2000#6427, 02-587-4350 ต่อ 6427

บทคัดย่อ

วัตถุประสงค์ของงานวิจัยนี้คือ การประเมินศักยภาพของการผลิตไฟฟ้าด้วยพลังงานแสงอาทิตย์บนหลังคาแบบเชื่อมต่อระบบจำหน่าย โดยทดลองติดตั้งระบบจำนวน 3 โครงการคือ แบบแผงอ่อง 17 องศาขนาดกำลังการผลิตไฟฟ้า 17.9 kW อ่องอึง 13 องศาขนาดกำลังการผลิตไฟฟ้า 17.9 kW และแบบแผงโค้งขนาดกำลังการผลิตไฟฟ้า 20.0 kW อินเวอร์เตอร์ต่อตระดับน้ำรับเป็นแบบสามเฟส จากการวิจัยพบว่า ระบบสามารถผลิตพลังงานไฟฟ้าจากเซลล์แสงอาทิตย์ได้ 30.02, 29.13 และ 30.91 kW/day ตามลำดับ พลังงานไฟฟ้าเซลล์แสงอาทิตย์มีค่าเท่ากับ 232.36, 226.56 และ 213.13 W/m² ตามลำดับ ค่าประสิทธิภาพรวมของระบบเท่ากับ 11.25% 10.97% และ 10.16% ตามลำดับ จากการวิเคราะห์เชิงเศรษฐศาสตร์ พบว่า แบบแผงอ่องทั้งสองโครงการคืนทุนในระยะเวลา 6 ปี 9 เดือน และเร็วกว่าแบบแผงโค้งซึ่งมีระยะเวลาคืนทุน 1 ปี 1 เดือน

